



## بررسی سنگ نگاری، ویژگی‌های ژئوشیمیایی و محیط تکتونوماگمایی توده‌ی گرانیت‌وئیدی کانسار مس پورفیری میدوک، شهر بابک - کرمان

علی علیرضایی<sup>۱</sup>، فرهاد آلیانی<sup>۱</sup>، عباس مرادیان<sup>۲</sup>

۱- گروه زمین‌شناسی، دانشگاه بابلی سینا همدان

۲- گروه زمین‌شناسی، دانشگاه شهید باهنر کرمان

(دریافت مقاله: ۹۰/۱/۱۹، نسخه نهایی: ۹۰/۵/۶)

**چکیده:** کانسار مس پورفیری میدوک در بخش شمال غربی مجموعه‌ی آتشفسانی- رسوی دهچ- ساردوئیه کرمان (جنوب شرقی کمربند آتشفسانی- نفوذی ارومیه- دختر) و در ۴۲ کیلومتری شمال شرق شهرستان شهر بابک واقع شده است. کانسار مس پورفیری میدوک با سن ۱۲.۵ میلیون سال، در سنگ‌های آتشفسانی و آذرآواری اثوسن با ترکیب آندزیزیت، آندزیت‌بازالت و داسیت (مجموعه‌ی رازک)، جایگزین شده است. بررسی‌های سنگ‌شناسی میکروسکوپی نشان می‌دهد که این توده از گرانوڈیوریت، کوارتزدیوریت و دیوریت تشکیل شده است. از نظر کانی‌شناسی، کانی‌های وابسته به میدوک پورفیری شامل پلاژیوکلاز، پتاسیم‌فلدسبار، آمفیبول، دیوتیت و کوارتنزند. سریسیت، کلریت، اپیدوت و مگنتیت نیز کانی‌های ثانویه این مجموعه را شامل می‌شوند. از نظر ویژگی‌های ژئوشیمیایی، سنگ‌های گرانیت‌وئیدی میدوک پورفیری جزء سری ماقمایی قلایی و کلسیک قلایی و از نوع گرانیت‌های متا تا پرآلومین و I هستند. بررسی‌های زمین‌ساختی حاکی از آن است که کانسار مس میدوک دارای ویژگی کانسارهای تشکیل شده در حاشیه‌ی قاره‌ای فعال است. همچنین این بررسی‌ها نشان می‌دهد که کانسار مس میدوک در یک محیط زمین‌ساختی پس از برخورد صفات ایران مرکزی و عربستان و در مراحل نهایی کوهزایی (رزیم تکتونیکی فشارشی) و پس از اتمام فرورانش پوسته‌ی اقیانوسی نشوتنیس تشکیل و جایگزین شده است.

**واژه‌های کلیدی:** میدوک؛ کمربند آتشفسانی- نفوذی ارومیه- دختر؛ ژئوشیمی؛ رزیم زمین‌ساختی پس از برخورد.

### میدوک در بخش شمال غربی آن قرار گرفته است.

فعالیت‌های آتشفسانی وسیعی که در اثوسن- الیگوسن در طول کمربند ارومیه- دختر رخ داده است، در نتیجه فرورانش پوسته‌ی اقیانوسی نشوتنیس به زیر صفحه‌ی ایران مرکزی در راستای دورانش زاگرس است. اما کانی‌سازی گستردگی مس پورفیری در طول کمربند ارومیه- دختر، بیشتر محدود به بخش جنوب شرقی این کمربند (مجموعه‌ی آتشفسانی دهچ- ساردوئیه) در استان کرمان بوده که این کانی‌سازی‌های مس پورفیری بعد از اتمام فرورانش پوسته اقیانوسی نشوتنیس رخ

**مقدمه**  
بخش جنوب شرقی کمربند آتشفسانی- نفوذی ایران مرکزی که در استان کرمان واقع شده است (نوار دهچ- ساردوئیه)، یکی از مناطق مهم تشکیل کانسارهای مس پورفیری در سیستم کوهزایی آلب- هیمالایاست (شکل ۱). نوار دهچ- ساردوئیه با طول ۴۵۰ کیلومتر و عرض حدود ۹۰ کیلومتر از گوشه‌ی شمال غربی و غرب استان کرمان در مناطق انار و دهچ تا گوشه‌ی جنوب شرقی یعنی جبال بارز جیرفت با روند عمومی شمال غربی- جنوب شرقی گسترش دارد که کانسار مس

### زمین‌شناسی عمومی

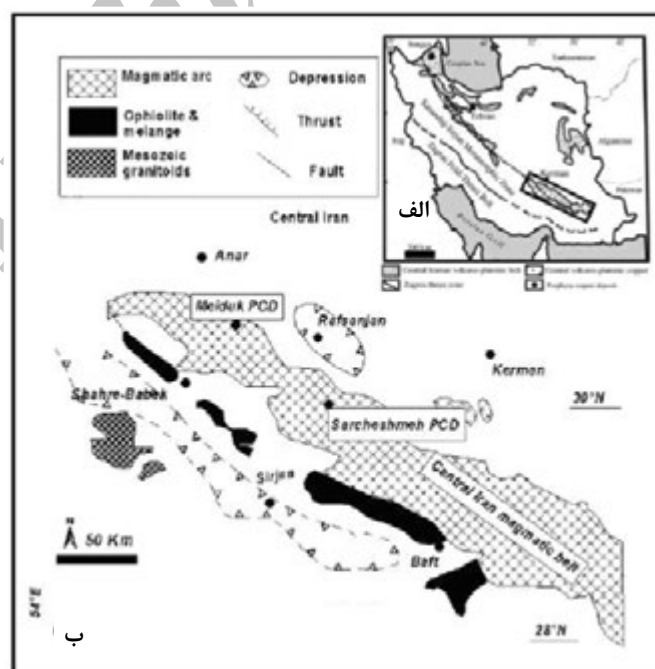
از نظر مختصات جغرافیایی کانسار مس میدوک در عرض جغرافیایی شمالی $25^{\circ} 30'$  و طول جغرافیایی شرقی $55^{\circ} 10'$  در منتهی الیه شمال غربی نقشه‌ی ۱/۱۰۰۰۰۰ شهر باک قرار گرفته است (شکل ۲).

قدیمی‌ترین واحدهایی که در منطقه‌ی میدوک رخنمون دارند، فلیش‌های آهکی به سن سنتومانین-توروئنین‌اند که با کنگلومرای کرمان به سن پالئوزن به صورت ناپیوسته پوشیده شده‌اند [۵]. واحد بعدی فلیش‌های ائوسن‌اند که روی فلیش‌های سنتومانین-توروئنین و نیز کنگلومرای کرمان قرار گرفته‌اند [۶]. همهی واحدهای یاد شده در گستره‌ی میدوک با دنباله‌های آتشفشاری پالئوزن پوشیده شده‌اند که به ترتیب شامل سه مجموعه از سالها پیش، به نامهای بحرآسمان، رازک و هزار خوانده می‌شوند [۷]. مجموعه‌ی آتشفشاری رازک در منطقه به عنوان سنگ میزبان کانسار مس میدوک شناخته شده [۷]، و به سه واحد تقسیم می‌شود که عبارتند از: واحد زیرین (تراکی-بازالت، آندزیت و تراکی آندزیت)، واحد میانی (توفه‌های اسیدی) و واحد فوقانی (تراکی آندزیت، آندزی بازالت و داسیت پورفیری) (شکل ۳). سن این مجموعه نیز که به روش  $^{40}\text{Ar}/^{39}\text{Ar}$  تعیین شده است، ۳۷.۵ میلیون سال است [۳].

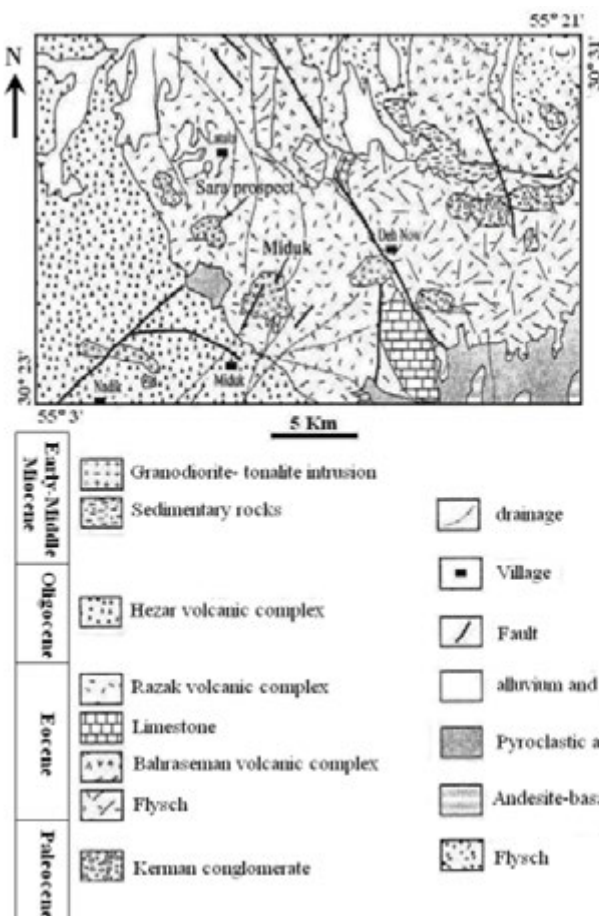
داده و به توده‌های نفوذی با سن میوسن میانی تا بالایی (توده‌های نفوذی تیپ کوهپنج) وابسته است. از مهم‌ترین ذخایر مس پورفیری در طول مجموعه‌ی آتشفشاری دهچ-ساردوئیه می‌توان به سرچشم، میدوک، دره زار، نوچون، دره‌آل‌لو، سرمشک وغیره اشاره کرد.

کانسار مس سرچشم با ذخیره‌ای حدود ۱۲۰۰ میلیون تن مس با عیار ۶۹٪ که در استان کرمان واقع شده است [۱] یکی از بزرگ‌ترین کانسارهای دنیا در سیستم کوه‌های آلپ-هیمالایا را تشکیل می‌دهد.

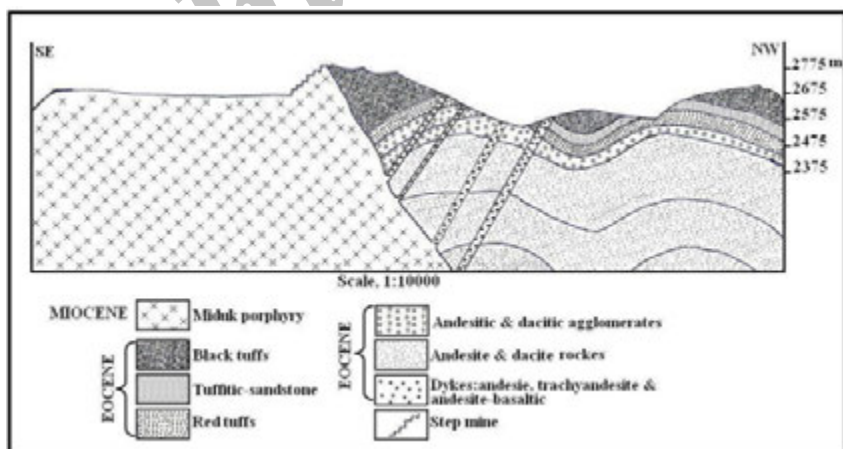
کانسار مس میدوک که در ۱۳۲ کیلومتری شمال غربی کانسار مس سرچشم قرار گرفته است، با ذخیره‌ای در حدود ۱۷۰ میلیون تن مس با عیار ۸٪ پس از کانسار مس سرچشم، مهم‌ترین کانسار مس پورفیری در استان کرمان است. اولین مرحله از فعالیت‌های پی‌جوئی از سال ۱۳۴۴ بر روی این کانسار شروع شد و تا کنون بیش از ۵۰ چاه و ۷ تونل پی‌جوئی در گستره‌ی این معدن حفر شده‌اند. از بررسی‌های انجام شده روی این کانسار، می‌توان به [۴-۲] اشاره کرد. در این پژوهش نیز سعی شد تا با استفاده از داده‌های ژئوشیمیایی و نیز بررسی‌های سنگ‌ساختی و ویژگی‌های سنگ‌شناسی کانسار مس پورفیری میدوک پرداخته شود.



شکل ۱ الف) موقعیت کمربند دهچ-ساردوئیه روی زون ارومیه-دختر [۲۰] و ب) موقعیت کانسار مس میدوک روی نوار دهچ-ساردوئیه- نقل با تغییرات از [۲۱].



شکل ۲ نقشه‌ی زمین‌شناسی منطقه‌ی شهریارک و موقعیت کانسار مس میدوک روی آن-اقتباس با تغییرات از [۶].



شکل ۳ نیمرخ زمین‌شناسی وابسته به واحدهای آتشفسانی در برگیرنده‌ی کانسار مس میدوک (مجموعه‌ی آتشفسانی رازک).

میدوک به فعالیتهای دگرسانی شدید همراه با این توده‌ی گرانیتوئیدی نیمه‌عمیق وابسته است (شکل ۴). بر اساس سال-سن‌جی‌های انجام شده به روش  $^{40}\text{Ar}/^{39}\text{Ar}$  توسط [۳] و  $\text{U}/\text{Pb}$  توسط [۴] بر روی کانسار مس میدوک، به ترتیب سن‌های

مجموعه‌ی آتشفسانی رازک با توده‌ای گرانیتوئیدی میدوک پورفیری در میوسن میانی قطع شده است که این توده عبارتند از دیوریت‌پورفیری، کوارتزدیوریت‌پورفیری و گرانودیوریت‌پورفیری می‌باشد. کانی‌زایی کانسار مس پورفیری

بخش زئوژیمی آن مورد پردازش قرار گرفتند.

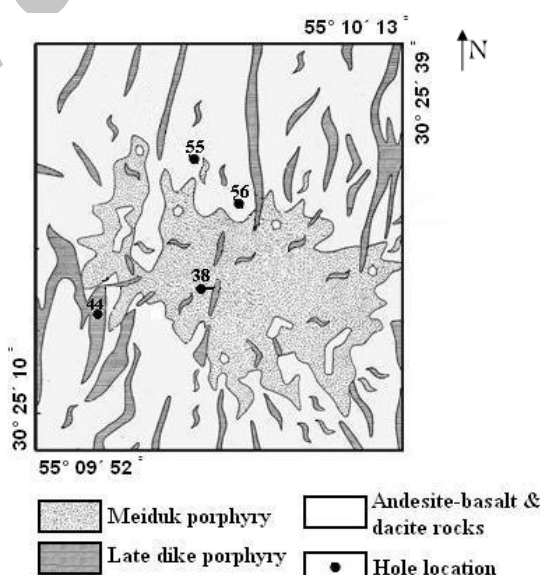
**روابط صحرایی و بررسی‌های سنگ‌شناسی میکروسکوپی**  
 توده‌ی گرانیتوئیدی میدوک پورفیری بزرگترین فاز نفوذی در ناحیه‌ی معدن است و بررسی ماکروسکوپی نمونه‌های برداشت شده از بخش‌های مختلف معدن نشان می‌دهد که از دیوریت، کوارتزدیوریت و گرانودیوریت تشکیل شده است و بیشترین کانه‌زایی مس نیز همراه با این توده است. استوک پورفیری میدوک در نمونه‌ی دستی با حضور فنوکریستهای پلازیوکلاز، بیوتیت و کوارتز مشخص می‌شود. در نمونه‌های کوارتزدیوریت و دیوریتی نیز کانی‌های پلازیوکلاز و کوارتز همراه یا بدون ارتوکلاز (ارتوکلاز در صورت حضور، به عنوان کانی فرعی محسوب می‌شود) و کانی تیره هورنبلند و بیوتیت با چشم غیر مسلح قابل تشخیص‌اند. در نمونه‌های پورفیری، فنوکریستهای بزرگی از پلازیوکلاز دیده می‌شوند. سنگ‌های گرانودیوریتی که رنگ آنها در نمونه‌ی دستی سفید تا خاکستری است و از نظر ضریب رنگی در حد لوکوکرات تا مزوکرات است، از کانی‌های پلازیوکلاز، ارتوکلاز، کوارتز و کانی‌های تیره‌ی هورنبلند و بیوتیت تشکیل شده‌اند. البته این کانی‌ها در نمونه‌ی دستی به راحتی و با چشم غیر مسلح قابل تشخیص‌اند. از آنجا که گرانودیوریت‌ها ویژگی‌ها و روابط صحرایی مشابه و بسیار نزدیکی با دیوریت‌ها دارند، آن‌ها را می‌توان به عنوان محصول جدایشی دیوریت‌ها در نظر گرفت.

۱۱/۳ میلیون سال و ۱۲/۵ میلیون سال برای این کانسار در نظر گرفته شده‌اند.

واحدهای بعدی در منطقه‌ی مورد بررسی دایک‌های پورفیری تأخیری با روند شمالی-جنوبی هستند (شکل ۴) که این دایک‌ها ترکیبی مشابه با توده‌ی گرانیتوئیدی میدوک داشته و به درون توده‌ی میدوک پورفیری و سنگ‌های آتش‌شانی درونگیر آن (مجموعه آتش‌شانی رازک) نفوذ کرده‌اند. علاوه بر این دایک‌هایی با ترکیب تراکی‌آنزیت، آنزی‌بازالت و داسیت پورفیری و روند شمالی-جنوبی و شمال‌شرقی-جنوب‌غربی در مجموعه آتش‌شانی رازک نیز نفوذ کرده‌اند (شکل ۳).

#### روش بررسی

بررسی توده‌ی گرانیتوئیدی مس میدوک در دو بخش صحرایی و ازمایشگاهی انجام گرفت. در بخش صحرایی از گستره‌ی مورد نظر تعداد ۱۵۰ نمونه از اعماق مختلف گمانه‌های پی‌جوئی شماره‌ی ۳۸، ۴۴، ۵۵ و ۵۶ برداشت شدند. در شکل ۴ موقعیت گمانه‌های مورد بررسی نشان داده شده است. تعداد ۱۰۰ مقطع نازک از نمونه‌های برداشت شده، برای بررسی‌های سنگ‌شناسی میکروسکوپی تهیه شدند. پس از بررسی سنگ‌شناسی نمونه‌ها، تعداد ۴۶ نمونه از سنگ‌های سالم و کمتر دگسان و شده برای تجزیه‌ی شیمیایی عناصر اصلی با دستگاه XRF و ICP-MS نیز اندازه گیری مقادیر عناصر نادر خاکی به روش ALS Chemex کانادا ارسال و در



شکل ۴ نقشه‌ی زمین‌شناسی کانسار مس پورفیری میدوک (نقل با تغییرات از [۲]). دایک‌های توپر موقعیت گمانه‌های مورد بررسی را نشان می‌دهد.

میلی‌متر است. بلورهای کوارتز بیشتر بی‌شکل، و به صورت منفرد و یا با انبوهی از دانه‌های ریز، فضای بین کانی‌ها را پر کرده‌اند. در سنگ‌هایی با بافت پورفیری، این بلورها عموماً سازنده‌ی زمینه‌ی سنگاند. ولی گاهی فنوکریست‌هایی با اندازه‌ی حداقل ۵ میلی‌متر نیز در آنها دیده می‌شوند که حواشی خلیجی را نیز نشان می‌دهند (شکل ۶). خوردگی کوارتز طی بالا آمدن ماغما به سطح زمین را، می‌توان به تغییر حالت اوتکتیک کوارتز- فلدسپار قلیایی به تغییر فشار نسبت داد. بیشتر کوارتز‌ها دارای خاموشی موجی هستند و گاهی اوقات کانی‌های بیوتیت و موسکوویت به صورت انکلوژیون در آنها دیده می‌شوند. کانی‌های بیوتیت، هورنبلند و کدر کانی‌های تیره سنگ‌های دیوریتی و کوارتزدیوریتی را شامل می‌شوند و در حدود ۲۰-۱۵ درصد حجمی نمونه‌ها را تشکیل می‌دهند. کانی بیوتیت فراوان‌ترین کانی تیره است و ۱۰ درصد حجمی نمونه‌ها را تشکیل می‌دهد. این کانی به صورت شکل دار و نیمه شکل دار است. اندازه‌ی آنها ۱/۵ - ۰/۲ میلی‌متر است. در تعدادی از آنها پدیده کدر شدن مشاهده می‌شود. بیوتیتها دارای چند رنگی شدید از قهقهه‌ای کمرنگ تا پررنگ و رخ‌های واضح‌اند. همچنان در مقاطع میکروسکوپی دو نوع بیوتیت مشاهده می‌شوند که شامل بیوتیت‌های ماغمایی و بیوتیت‌های ثانویه‌اند (شکل ۷). بیوتیت‌های ماغمایی به صورت فنوکریست‌های کامل‌اً شکل دار و دارای رخ هستند و رنگ آنها قهقهه‌ای تیره است و هیچ‌گونه دگرسانی را در کناره‌ها و داخل آنها مشاهده نمی‌کنیم. البته در بعضی از مقاطع بیوتیت‌های ماغمایی کمی دستخوش دگرسانی شده‌اند (بیوتیت‌های گرمابی) که در کناره‌ها به کلریت و در مرکز به ارتوز و مگنتیت تبدیل شده‌اند و رنگ آنها قهقهه‌ای روشن مایل به تیره است. گروه دوم بیوتیت‌های ثانویه‌های هستند که بدون شکل‌اند و اندازه‌ی آنها کوچک است. این بیوتیت‌ها به طور کامل یا بخشی جانشین هورنبلند و یا بیوتیت‌های ماغمایی می‌شوند و رنگ آنها قهقهه‌ایست (شکل ۷). کانی هورنبلند دومین کانی تیره است و ۵ درصد حجمی نمونه‌ها را تشکیل می‌دهد. این کانی نیمه شکل دار و در مقاطع عرضی لوزی شکل است. اندازه‌ی بلورها ۰/۲-۰/۶ میلی‌متر و دارای چند رنگی ضعیف است. این بلورها دارای پدیده‌ی کدر شدن در حاشیه و مرکز هستند و تعدادی از آنها به کلریت و اپیدوت تبدیل شده‌اند و در بعضی از نمونه‌ها به طور کامل به وسیله‌ی بیوتیت و مگنتیت جانشین شده‌اند و فقط قالبی از آن

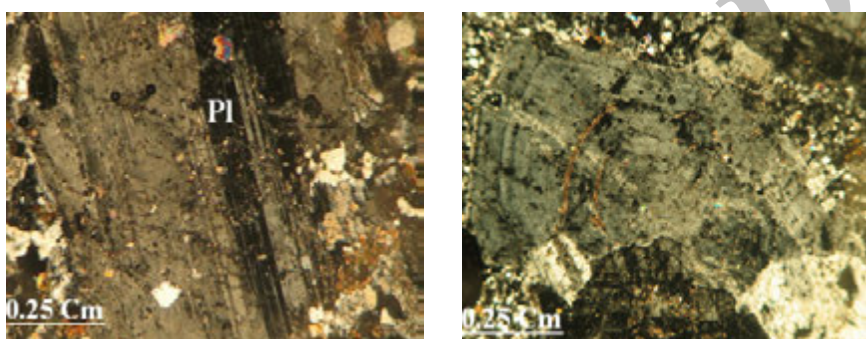
[۲۰] توده‌ی پورفیری p1 به عنوان توده دوم را نیز در غرب معدن تشخیص داده است. به عقیده‌ی او این توده که در بخش‌های عمیق کانسار واقع شده است، دارای بافت پورفیری- آپلیتی با رنگ خاکستری است که به شدت دگرسان شده است و غالباً بر اساس حضور رگچه و رگه‌های غنی از کوارتز و مگنتیت قابل شناسایی است. به دلیل شکل‌گیری این توده در بخش‌های عمیق، حضور رگچه و رگه‌های حاوی مگنتیت و مگنتیت + کوارتز و دگرسانی پتانسی غنی از مگنتیت، سن جایگزینی آن قدیمی‌تر از توده‌ی نفوذی میدوک پورفیری است [۲۰].

بررسی‌های سنگنگاری که روی مقاطع نازک مربوط به گمانه‌های مورد بررسی با دگرسانی ضعیف صورت گرفته است، نشان می‌دهد که گمانه‌های شماره‌ی ۴۴ و ۵۵ ترکیب دیورتی و کوارتزدیوریتی را نشان داده و گمانه‌های شماره‌ی ۳۸ و ۵۶ بیشتر ترکیب گرانوڈیورتی را نشان می‌دهند.

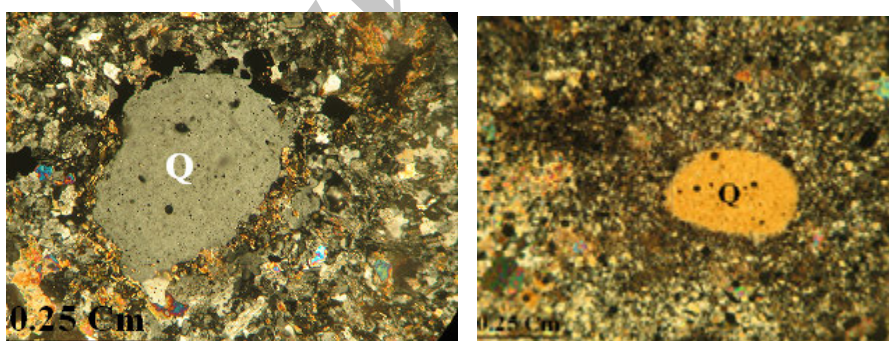
دیورت‌ها و کوارتزدیورت‌ها در مقاطع میکروسکوپی بافت پورفیری دارند. کانی‌های اصلی این سنگ‌ها فنوکریست‌های شکلدار و نیمه‌شکلدار پلازیوکلاز از نوع الیگوکلاز، کوارتز بی- شکل و نیمه‌شکلدار بوده که به صورت پراکنده فضای بین کانی‌های زمینه را پر کرده است. کانی‌های تیره‌ای این سنگ‌ها به صورت فنوکریست‌های بیوتیت و مقدار کمی هورنبلندند. پلازیوکلاز به عنوان فراوان‌ترین کانی موجود در سنگ‌ها، در حدود ۵۰ درصد حجمی نمونه‌ها را تشکیل می‌دهند. بلورهای آن شکل دار تا نیمه شکل دار تخته‌ای هستند و اندازه‌ی آنها ۰/۵ میلی‌متر است. این کانی‌ها دارای منطقه‌بندی نوسانی بوده و ماکل‌های پلی‌سنتتیک و کارلسbad در آنها دیده می‌شوند (شکل ۵). همچنان در بعضی از نمونه‌ها ماکل‌بندی‌های ثانویه حاصل از تنفس نیز در بلورها دیده می‌شود (شکل ۵). در درون این بلورهای پلازیوکلاز کانی‌های کوچک، آپاتیت، زیرکن، بیوتیت و کانی‌های کدر به صورت میانبار قرار گرفته‌اند. انحلال در حاشیه و درون پلازیوکلازها نیز مشاهده می‌شود و در مواردی پلازیوکلازها در راستای رخ‌ها و شکستگی‌ها به کانی‌های رسی، سریسیت، کلریت و اپیدوت دگرسان شده‌اند (شکل ۵). فلدسپار قلیایی به مقدار کم، حدود ۴ درصد حجمی نمونه‌ای دیورت و کوارتزدیوریتی را تشکیل می‌دهد. کانی کوارتز حدود ۱۵-۱۳ درصد حجمی نمونه‌های دیورت و کوارتزدیوریتی را شامل می‌شود. متوسط اندازه‌ی آنها ۰/۳

و هورنبلند. از کانی‌های فرعی می‌توان آپاتیت و زیرکن را نام برد که از درصد بسیار جزئی برخوردارند و همه‌ی آنها خودشکلند. بیشتر آپاتیتها به صورت میان‌بار در بیوتیت‌ها و کمی در هورنبلندها حضور دارند. زمینه‌ی سنگ‌های مورد بررسی بیشتر از کوارتز، سریسیت، پلاژیوکلاز، پتاسیم‌فلدسبار و مقدار کمتر بیوتیت تشکیل شده است. بافت‌های دیگر نظری بافت انحلالی در حاشیه و درون پلاژیوکلازها و خاموشی موجی در کوارتزها نیز مشاهده می‌شوند.

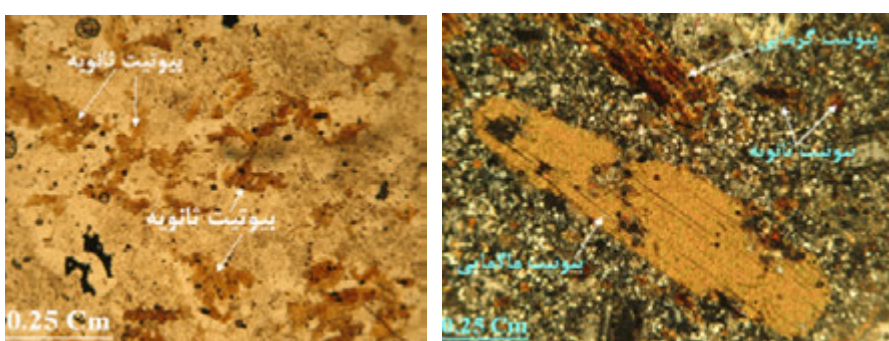
بر جای مانده است (شکل ۸). کانی‌های کدر گروه دیگری از کانی‌های تیره‌اند که کمتر از ۳ درصد حجمی نمونه‌ها را تشکیل می‌دهند و بیشتر به صورت بی‌شکل در تمامی نمونه‌ها حضور داشته و اندازه‌ی آنها از  $0.5 \times 0.1$  میلی‌متر تغییر می‌کند. کانی‌های ثانویه حاصل از دگرسانی کانی‌های اصلی و فرعی که در متن سنگ دیده می‌شوند، عبارتند از: سریسیت و فلدسبار پتاسیم حاصل از تجزیه شدید پلاژیوکلازها، کانی‌های رسی حاصل از تجزیه پتاسیم فلدسبارهای زمینه، کلریت و بیوتیت‌های ثانویه و سریسیت حاصل از تجزیه بیوتیت‌های اولیه



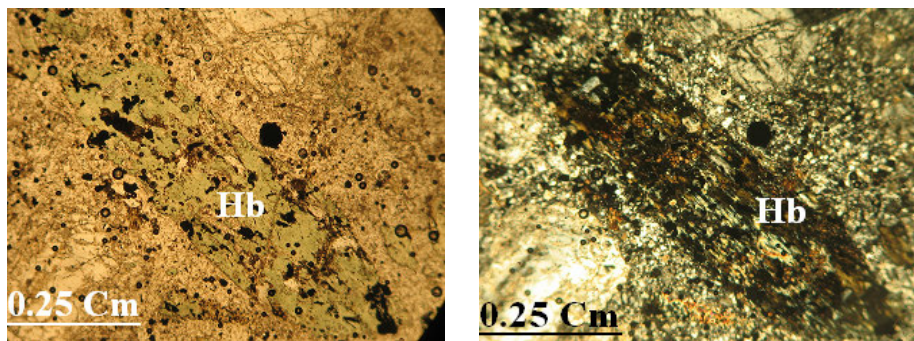
شکل ۵ تصاویری از فنوکریست‌های پلاژیوکلاز (Pl) وابسته به توده‌ی نفوذی میدوک پورفیری که ماکلهای پلی‌سنتیک و منطقه‌بندی نوسانی در آن‌ها دیده می‌شود و نیز تحت تأثیر دگرسانی تا حدودی سریسیتی و کلریتی شده‌اند - نور XPL.



شکل ۶ فنوکریست‌های کوارتز با حواشی انحلالی و خلیجی - نور XPL.



شکل ۷ انواع بیوتیت‌های موجود در توده گرایتونییدی میدوک پورفیری (شکل سمت راست نور XPL و شکل سمت چپ نور PPL).



شکل ۸ فنوکریست هورنبلند (Hb) موجود در توده‌ی نفوذی میدوک پورفیری که به کلریت و کانی‌های اپک تبدیل شده است.

دگرسانی‌های سدی و پتسی را از دگرسانی‌ها یا نمونه‌های دیگر نادگرسان از هم تفکیک کرد. چنانکه در این نمونه‌ها مشاهده می‌شود، بیشتر نمونه‌های وابسته به توده‌ی میدوک پورفیری در گستره‌های نادگرسان یا دگرسان‌های دیگر به جز دگرسانی پتسی واقع شده‌اند.

با توجه به نتایج داده‌های ژئوشیمیایی درصد  $\text{SiO}_2$  در سنگ‌های منطقه‌ی مورد بررسی بین ۵۳ تا ۶۸ درصد متغیر است و در نمودار  $R_1$  نسبت به  $R_2$  [۱۰] نمونه‌ها در گستره‌ی گرانیت، گرانودیوریت، تونالیت و کوارتزمنزونیت قرار می‌گیرند (شکل ۱۰).

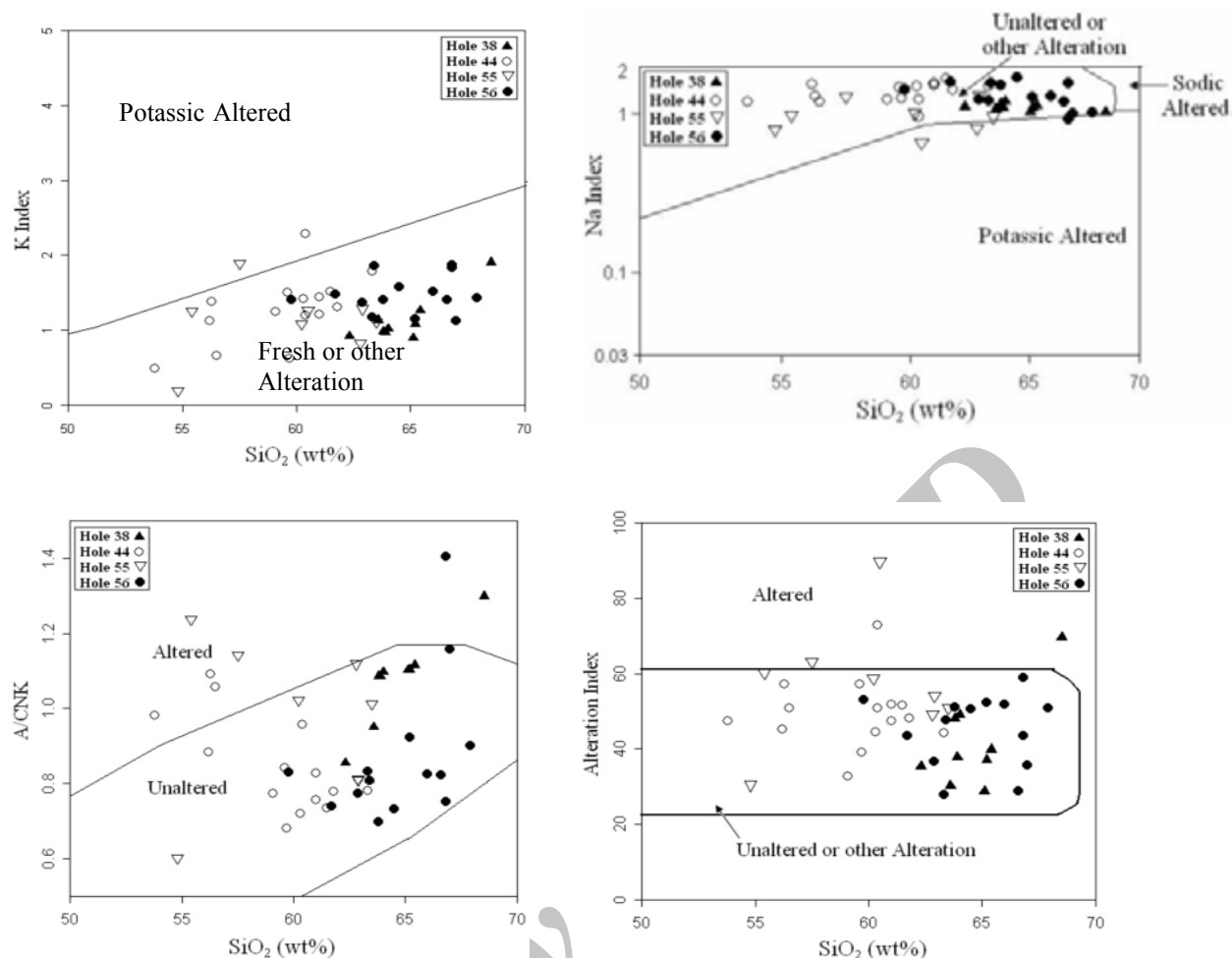
[۱۱] با بهره‌گیری از مفهوم روند Fenner در طول جدایش بلوری و پارامترهای  $\text{SiO}_2$  و  $\text{FeO}^t/\text{FeO}^t + \text{MgO}$  نمودار جدیدی را برای تفکیک سری تولیتی و آهکی-قلیایی پیشنهاد کرده‌اند که در آن سری‌های یاد شده را به ترتیب با نامهای Magnesian و Ferroan گرانیتی که در شکل ۱۱-الف دیده می‌شود، بیشتر نمونه‌های گرانیت‌تیوئیدی وابسته به کانسار مس میدوک در گستره‌ی گرانیت‌های منیزین یا آهکی-قلیایی قرار می‌گیرند. نامبرگان همچنین با استفاده از ضربی اصلاح شده قلیا-آهک (شاخص Malli) که عبارتست از  $\text{SiO}_2/\text{Na}_2\text{O} + \text{K}_2\text{O} - \text{CaO}$ ، نمودار شاخص Malli نسبت به  $\text{SiO}_2$  را رسم کرده‌اند (شکل ۱۱ ب). نمونه‌های گرانیت‌تیوئیدی کانسار مس میدوک با داشتن مجموع  $\text{Na}_2\text{O} + \text{K}_2\text{O}$  بین ۵/۸ تا ۹/۳۱ درصد وزنی و میزان  $\text{CaO}$  بین ۱/۳۲ تا ۴/۸۸ در آن نمودار در گستره‌های قلیایی و کلسیک قلیایی قرار گرفته‌اند. در این نمودار با افزایش میزان  $\text{SiO}_2$  شاخص Malli نیز به طور جزئی افزایش یافته است.

گرانودیوریت‌ها نیز در مقاطع میکروسکوپی اغلب دارای بافت پورفیری و دانه‌ای بوده و گاه بافت‌های انحلالی در حاشیه پلاژیوکلازها و خاموشی موجی در کوارتزها نیز نشان می‌دهند. کانی‌های آن‌ها را کوارتز (۲۲ تا ۳۰ درصد) به صورت بی‌شكل و نیمه خود ریخت، پلاژیوکلاز (۴۰ تا ۵۰ درصد) با ترکیب الیگوکلاز-آنزین، منطقه‌ی بندی عادی و نوسانی، ماکل چندهمنهشتی و به صورت خود شکل و نیمه خود شکل و فلدسپار قلیایی (حدود ۱۰ تا ۱۷ درصد) بیشتر از نوع ارتوز تشکیل می‌دهد. بلورهای ارتوز به صورت بی‌شكل و نیمه‌شکل دار بوده و حالت غبارآلود در سطح تعدادی از آنها دیده می‌شود. کانی‌های تیره‌ی این سنگ‌ها نیز عبارتند از آمفیبول (حدود ۷ درصد) بیوتیت (حدود ۰ درصد) و همچنین آپاتیت، اسفن و زیرکن به عنوان کانی‌های فرعی.

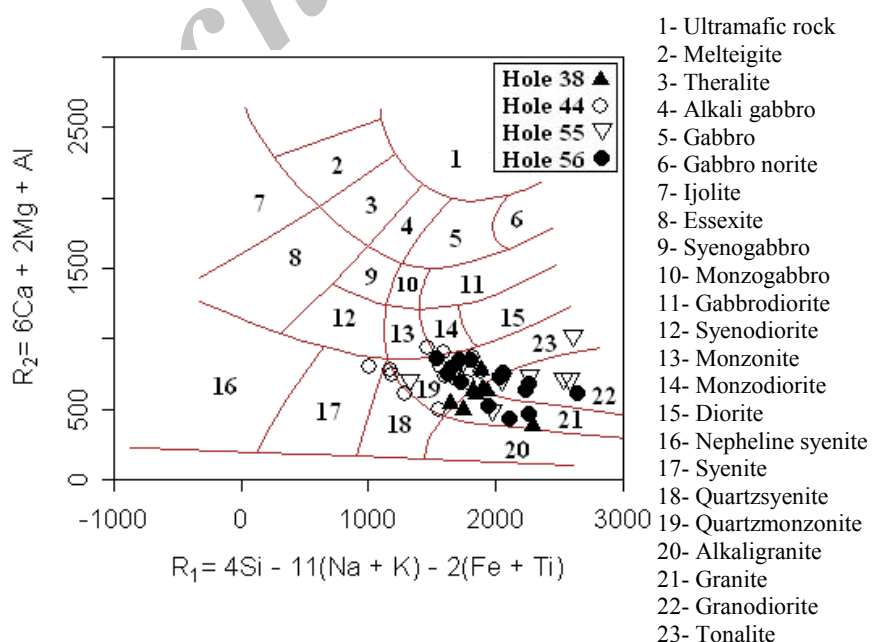
### ژئوشیمی

#### ژئوشیمی عناصر اصلی

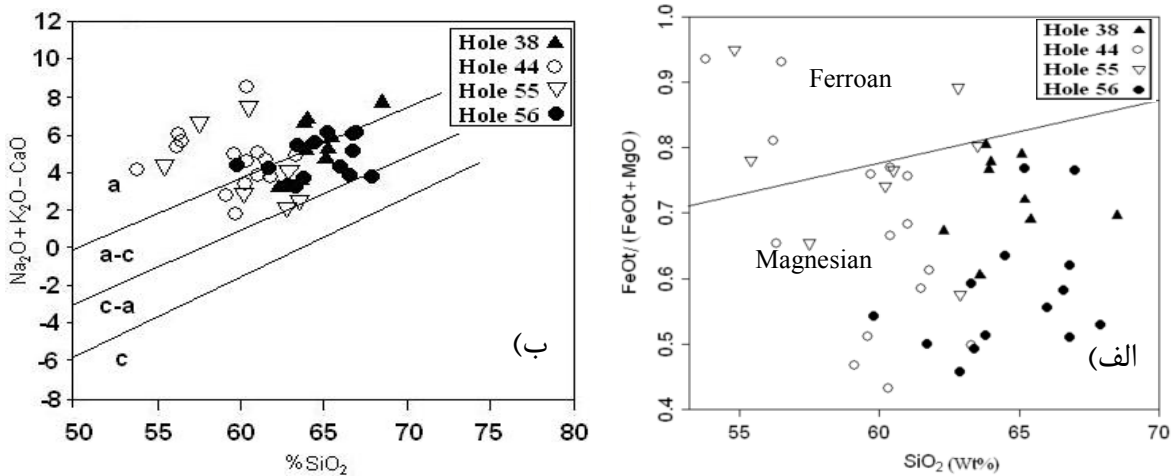
در این بخش ویژگی‌های ژئوشیمیایی گمانه‌های پی‌جویی شماره ۳۸، ۴۴ و ۵۵ و وابسته به توده‌ی گرانیت‌تیوئیدی میدوک پورفیری مورد بررسی قرار گرفتند. از آنجا که در بسیاری از بررسی‌های ژئوشیمیایی کانسارها به ویژه ذخایر مس پورفیری دگرسان و فیلترهای دگرسانی حائز اهمیت‌اند، لذا در این بخش سعی شده است تا برای تعیین میزان دگرسانی نمونه‌های وابسته به توده‌ی گرانیت‌تیوئیدی پورفیری میدوک علاوه بر بررسی‌های میکروسکوپی و در نظر گرفتن LOI نمونه‌ها، از نمودارهای [۹، ۸] (شکل ۹) استفاده شود. در این نمودارها با استفاده از شاخص‌های پتسی، سدی، دگرسانی و نیز شاخص ACNK (شکل ۹)، نسبت به  $\text{SiO}_2$  می‌توان



شکل ۹ تعیین دگرسانی نمونه‌های وابسته به توده گرانیتوئیدی میدوک پورفیری با استفاده از نمودارهای [۹،۸].



شکل ۱۰ نمودار نامگذاری سنگ‌های گرانیتوئیدی میزان کانسار مس میدوک [۱۰].



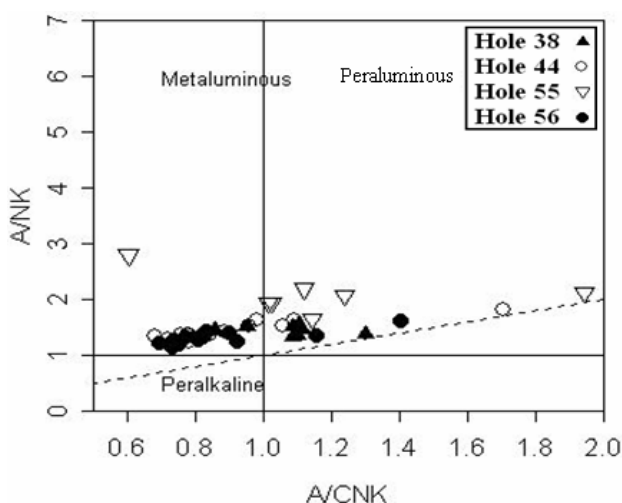
شکل ۱۱ الف- نمودار تغییرات  $\text{FeOt}/(\text{FeOt} + \text{MgO})$  نسبت به  $\text{SiO}_2$  [۱۱] ب- نمودار  $\text{Na}_2\text{O}/(\text{K}_2\text{O} + \text{Na}_2\text{O} - \text{CaO})$  نسبت به  $\text{SiO}_2$  برای تعیین [۱۱] Malli

به  $\text{Y} + \text{Nb}$ ، سنگ‌های گرانیتوئیدی به عنوان توده‌ی مولد کانسار مس میدوک (میدوک پورفیری) به روشنی در موقعیت پس از برخورد در کمان‌های آتششناختی قرار گرفته‌اند که این نشان‌دهنده‌ی شکل گیری آن‌ها پس از پایان فرورانش است، بنابراین می‌توان آن‌ها را از نوع توده‌های نفوذی پس از فرورانش قلمداد کرد، نه توده‌های نفوذی در زمانیکه فرورانش هنوز فعال است شکل گرفته باشند. (شکل ۱۳ الف). توده‌های گرانیتوئیدی که در این گستره قرار می‌گیرند، ویژگی گرانیت‌های واپسته به حاشیه‌های قاره‌ای فعال را نشان می‌دهند که درای بیوتیت و هورنبلند بوده و از گرانیت‌های نوع I می‌باشند [۱۴].

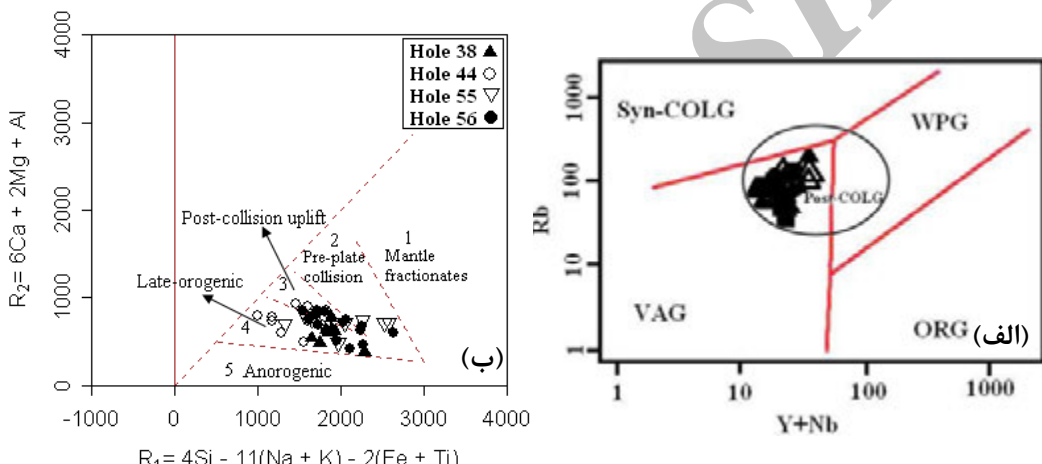
از نمودارهای R1 نسبت به R2 [۱۵] نیز برای شناسایی موقعیت زمین‌ساختی نمونه‌های معنده میدوک استفاده شد که با ترسیم داده‌های واپسته، نمونه‌های سنگی توده‌ی میدوک پورفیری بیشتر در موقعیتی پس از پایان فرورانش یعنی در مرحله پس از برخورد و مراحل نهایی کوه‌زایی که با بالا آمدگی همراه بوده است، واقع شده‌اند (شکل ۱۳ ب). این ماهیت زمین‌ساختی سنگ‌های منطقه، نشان‌دهنده‌ی تشکیل آنها در مراحل نهایی تکامل کمان ماجمایی ارومیه-دختر (نوار دهچ-ساردوئیه) هستند. همچنین این نمودار نشان می‌دهد که نمونه‌های گرانیتوئیدی میدوک پورفیری با قرار گرفتن در گستره‌های آهکی-قلیابی غنی از پتاسیم و مونزونیتی نیمه قلیابی، ماهیت نیمه قلیابی دارند.

نمودار [۱۲] ویژگی‌های شاخص اشباع از آلومینیوم را نشان می‌دهد که در شکل ۱۲ آورده شده است. چنانکه در این نمودار دیده می‌شود، نمونه‌های مورد بررسی در گستره‌ی متآلومین تا پرآلومینین قرار می‌گیرند. با توجه به حضور کانی‌های تیره اصلی هورنبلند و بیوتیت در سنگ‌های منطقه و عدم حضور کانی‌های غنی از Al، مانند کردیریت، کرونودوم و توپاز در این سنگ‌ها و نیز با توجه به نبود یا کمبود برونبوم‌های پوسته‌ای در آنها، ماهیت پرآلومینوس آنها را نمی‌توان به فرآیندهای هضم در بخش‌های میانی و بالایی پوسته‌ی قاره‌ای واپسته دانست. بنابراین ویژگی‌های یاد شده نشان‌دهنده‌ی ماهیت متآلومینوس سنگ‌های مورد بررسی است و ماهیت پرآلومینوس آنها را می‌توان به میزان آب در ناحیه ذوب [۱۳] نسبت داد. به عبارتی وجود مقدار زیادی آب در محل خاستگاه ماجمای تشکیل دهنده‌ی توده‌ی گرانیتوئیدی میدوک پورفیری، کاهش پایداری پلازیوکلاز و در نتیجه ذوب آن را به دنبال دارد. ذوب پلازیوکلازها باعث ورود مقادیر زیادی آلومینیوم و نیز استرانسیم و یوروپیم به درون گدازه‌ی نهایی خواهد شد که در پایان، این فرآیند منجر به تولید ماجمای پرآلومینوس در سنگ‌های منطقه مورد بررسی و نیز نابهنجاری مثبت یوروپیوم شده است.

به منظور تعیین محیط زمین‌ساختی توده نفوذی میدوک پورفیری از نمودارهایی که براساس اکسیدهای اصلی و عناصر فرعی ترسیم شده‌اند، استفاده شده است. در نمودار Rb نسبت



شکل ۱۲ نمودار [۱۲] که نشان‌دهنده موقعیت نمونه‌های مورد بررسی در گستره‌ی متالومین تا پرآلومین است.



شکل ۱۳ نمودارهای تعیین محیط زمین‌ساختی سنگ‌های منطقه‌ی، (الف) نمودار  $Rb/Y + Nb$  نسبت به  $Y + Nb$  [۱۴]، (ب) نمودار  $R_2 = 6Ca + 2Mg + Al$  نسبت به  $R_1 = 4Si - 11(Na + K) - 2(Fe + Ti)$  برای تعیین موقعیت زمین‌ساختی کانسار مس میدوک. گستره‌های شماره‌گذاری شده عبارتند از گروه‌های: ۱- تولیتی، ۲- آهکی-قلیابی و تروندهجیتی، ۳- آهکی-قلیابی غنی از پتانسیم، ۴- مونزونیتی نیمه قلیابی، ۵- قلیابی و پرآلکان.

**ژئوشیمی عناصر نادر خاکی و عناصر فرعی میدوک پورفیری**  
استفاده از عناصر نادر خاکی و عناصر فرعی به دلیل اینکه این عناصر غالباً ساکن هستند و فرآیندهای دگرسانی و گرمابی کمترین تأثیر را روی این عناصر دارند برای بررسی چگونگی زمین‌ساختی سنگ‌ها و نیز شناخت ویژگی‌های ژئوشیمیابی ماگما بسیار اهمیت دارد. الگوی پراکنده‌ی عناصر نادر خاکی نمونه‌های توده‌ی نفوذی میدوک پورفیری براساس داده‌های کندریت [۱۷] ترسیم شده است (شکل ۱۵). در این نمودار شب نمودار از سمت عناصر نادر خاکی سبک به سمت عناصر نادر خاکی سنگین، کم می‌شود. به عبارتی در نمودار توده‌ی میدوک پورفیری یک غنی شدگی زیاد در LREE و یک غنی

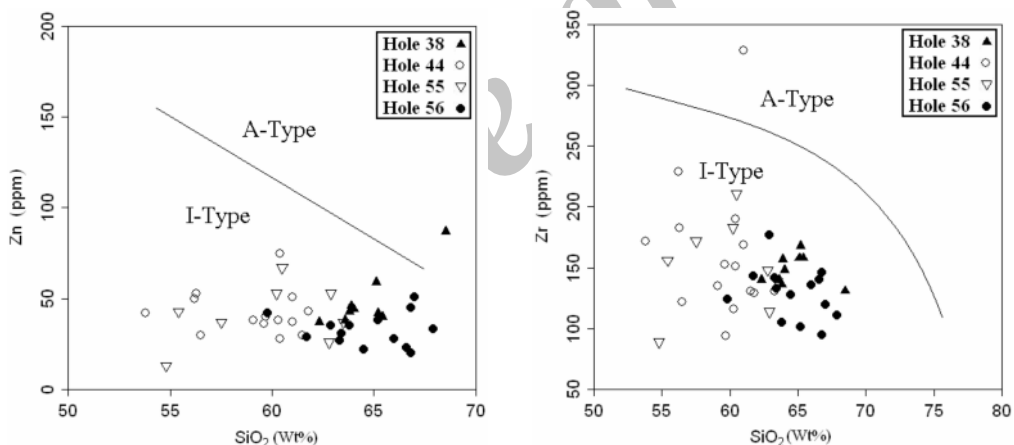
به منظور جدایش گرانیت‌های نوع I از A، نمونه‌ها در نمودار  $SiO_2$  نسبت به  $Zr$  و  $SiO_2$  نسبت به  $Zn$  که توسط [۱۶] پیشنهاد شده است، رسم شده‌اند (شکل ۱۴) که نمونه‌های مورد بررسی در گستره‌ی گرانیت‌های نوع I قرار می‌گیرند. علاوه بر این مقدار  $SiO_2$ ، نسبت  $A/CNK$ ، نسبت  $K_2O/Na_2O$ ، میزان  $Ni$  و  $Cr$  و نیز حضور کانی‌های مافیک هورنبلند و بیوتیت، بافت همسان میان دانه تا ریزدانه و بافت پورفیری، نبودن بافت پگماتیتی و در نهایت عدم وجود برونبوم‌های با خاستگاه پوسته‌ی قاره‌ای در سنگ‌های گرانیتوئیدی کانسار مس میدوک، نشان‌دهنده‌ی وابستگی سنگ‌های یاد شده به گرانیت‌های نوع I هستند.

به کانسار مس میدوک، از جمله غنی‌شدگی عناصر Rb, Ba, Ce و Th نسبت به عناصر Y, P, Zr, Eu, K منفی و Nb و نیز نبودن نایهنجاری منفی در Eu کاملاً مشابه با کانسارهای مورده بحث در کشور شیلی است. تشابه الگوی این عناصر در سنگ‌های گرانیتوئیدی کانسار مس میدوک با مناطق فوق نشان می‌دهد که کانسار مس پورفیری مانند کانسارهای Chimboraza, Zaldivar, Scandida شیلی، دارای ویژگی‌های کانسارهای مس پورفیری تشکیل شده در کرانه‌های فعال قاره‌ای است.

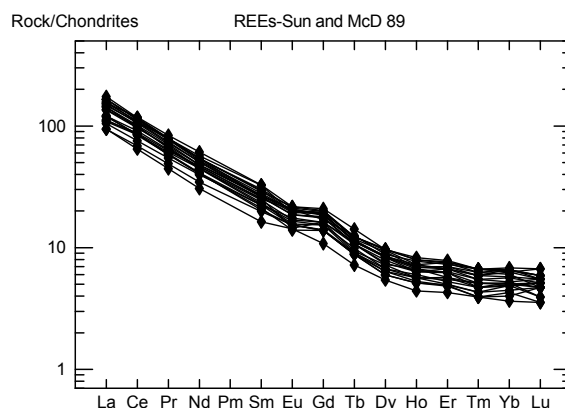
با توجه به ویژگی‌های ژئوشیمیایی و نیز با در نظر گرفتن موقعیت زمانی و مکانی توده‌ی گرانیتوئیدی کانسار مس میدوک به نظر می‌رسد که این توده در یک محیط زمین-ساختی پس از برخورد و وابسته به کرانه‌های قاره‌ای فعال تشکیل شده است.

شدگی اندک در HREE دیده می‌شود. از نکات قابل توجه در این نمودار، نبودن نایهنجاری منفی Eu در نمونه‌های میدوک پورفیری است. الگوی پراکنده‌ی عناصر خاکی در تمام نمونه‌های وابسته به کانسار مس پورفیری میدوک، یک الگوی پراکنده با شیب کم است و بخصوص شیب کلی پراکنده‌ی عناصر نادر خاکی سنگین بسیار کم و تقریباً صاف است. غنی-شدگی از عناصر LREE نسبت به HREE وابستگی این سنگ‌ها را به سری‌های آهکی-قلیایی نشان می‌دهد. با توجه به موازی بودن روند وابسته به نمونه‌های گرانیتوئیدی منطقه می‌توان به هم‌خاستگاه بودن آنها پی برد.

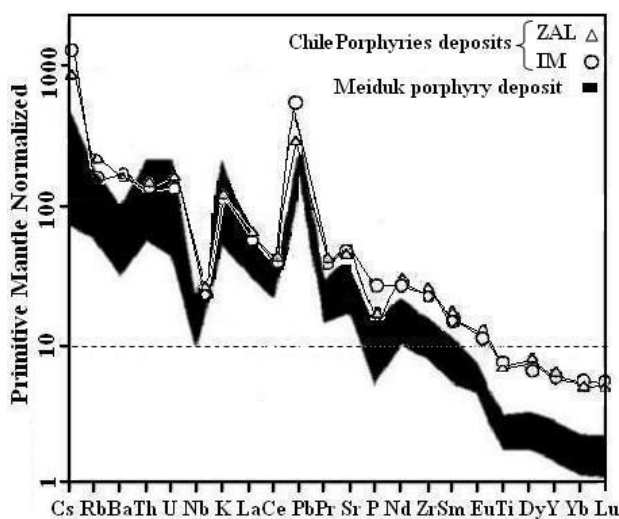
در شکل ۱۶ رفتار ژئوشیمیایی عناصر فرعی و اصلی وابسته به کانسار مس میدوک، با کانسارهای Chimboraza و Zaldivar در کشور شیلی [۱۸] مقایسه شده است. داده‌های ژئوشیمیایی به دست آمده نسبت به گوشه‌های اولیه بهنجار شده‌اند [۱۷]. در این نمودار رفتار عناصر فرعی و اصلی وابسته



شکل ۱۴ نمودارهای Zn-SiO<sub>2</sub> و Zr-SiO<sub>2</sub> نشان می‌دهند که نمونه‌های منطقه‌ی مورده بررسی در گستره‌ی گرانیت‌های نوع I قرار گرفته‌اند.



شکل ۱۵ نمودار عنکبوتی عناصر نادر خاکی توده‌ی نفوذی میدوک پورفیری هنجار شده بر اساس داده‌های [۱۷].



شکل ۱۶ مقایسه‌ی رفتار عناصر فرعی و اصلی وابسته به توده‌های نفوذی کانه‌زایی در کانسارهای مس پورفیری Chimborazo ، Zaldívar و Shili [۱۸] با رفتار این عناصر در توده گرانیتوئیدی میدوک پورفیری- هنجار شده بر اساس داده‌های [۱۹].

میدوک، ویژگی‌های ژئوشیمیایی این توده مانند مقادیر پایین‌تر عدد منیزیم ( $Mg\# = ۳۸-۴۹$ )، در مقایسه با مagmaهای حاصل شده از ذوب پوسته‌ی اقیانوسی فرورو ( $Mg\# = ۵۸-۷۲$ ) و قرار گرفتن نمونه‌های این سنگ‌ها در موقعیت زمین‌ساختی پسا برخورد و  $Sr/Y > 40$  ppm،  $Sr > 400$  ppm مقایسه‌ی این ویژگی‌ها با توده‌های نفوذی نوع کوهپنج به سن میون میانی- بالایی مثل سرجشمه، دره‌زار و نوچون [۱۹]، می‌توان به این نتیجه رسید که توده‌ی گرانیتوئیدی میدوک پورفیری نمی‌توانسته است از ذوب پوسته‌ی اقیانوسی فرورونده حاصل شده باشد. بنابراین به مانند کانسارهای فوق به ذوب بخش‌های زیرین پوسته‌ی قاره‌ای ضخیم شده وابسته باشد. نسبت بالای  $La/Yb$  در این سنگ‌ها را نیز می‌توان به دخالت یک خاستگاه آمفیبولیتی با مقادیر نسبتاً زیاد گارنت (حداکثر  $25-30$  درصد) در تشکیل آنها وابسته دانست که با ویژگی‌های سنگ‌های آداسیتی انجامیده از ذوب بخش‌های زیرین پوسته‌ی قاره‌ای دارای آمفیبول و گارنت در خاستگاه و در یک محیط زمین‌ساختی برخورده و فشارشی همخوانی دارد [۲۲]. برداشت

بر اساس اطلاعات به دست آمده از بررسی‌های صحرایی، سنگ‌شناختی، کانی‌شناختی و ژئوشیمیایی روی توده‌ی گرانیتوئیدی میدوک پورفیری، می‌توان به این نتیجه رسید که: ۱- کانسار مس میدوک در کمریند آتشفسانی-پلوتونیکی ارومیه- دختر (نواردهج- ساردوئیه) قرار دارد. کانسار سازی در

#### خاستگاه احتمالی توده‌ی گرانیتوئیدی میزبان کانسار مس میدوک

بررسی ویژگی‌های ژئوشیمیایی و زمین‌ساختی توده‌ی گرانیتوئیدی میدوک پورفیری نشان داد که این توده در موقعیتی پس از پایان فروراش یعنی در مرحله‌ی پسا برخورد و مراحل نهایی کوهزایی که با بالا آمدگی همراه بوده است، تشکیل شده است. به عبارتی این توده زمانی تشکیل و جایگزین شده است که فروراش پوسته‌ی اقیانوسی نشوتیس که از زمان کرتاسه آغاز شده بود، در پایان پالئوژن- آغاز نئوژن با برخورد بین صفحات عربی و ایران به پایان رسیده و رژیم زمین‌ساختی فشارشی و شرایط کوهزایی بر سراسر ایران حکم‌فرما شده است. با توجه به مطالب بالا و نیز مقادیر پایین  $Y < ۱۸$  ppm، جدایش نسبتاً بالای عناصر نادر خاکی  $Eu$  در نمونه-  $La/Yb \geq ۲۰$  و نبودن نابهنجاری آنومالی منفی  $Eu$  در نمونه‌های وابسته به توده‌ی گرانیتوئیدی میدوک پورفیری می‌توان گفت که مagma مادر این توده از محیطی ریشه گرفته است که در آنجا پلازیوکلاز حضور نداشته است ولی آمفیبول به عنوان کانی اصلی در پسماند حاصل از ذوب بخشی نقش اصلی را ایفا کرده است. ناپایداری پلازیوکلازها و ذوب شدن آنها طی فرآیند ذوب بخشی، باعث افزایش  $Sr$  و  $Eu$  در magma مادر این سنگ‌های آن توده و در نتیجه نبودن نابهنجاری منفی این دو عنصر در نمودارهای عنکبوتی وابسته به این سنگ‌ها شده است. از نظر خاستگاه تشکیل توده‌ی گرانیتوئیدی میزبان کانسار مس

### قدردانی

از آنجا که این پژوهش با حمایت‌های همه جانبه مجتمع مس سرچشم، به ویژه امور تحقیقات این مجتمع و همچنین مجتمع معدنی مس میدوک انجام شده است، لذا لازم می‌دانم از مدیریت محترم امور تحقیق و توسعه مجتمع مس سرچشم جناب آقای مهندس قاسمی، رئیس محترم امور تحقیق و توسعه این مجتمع جناب آقای مهندس آتش پنجه و نیز مدیریت محترم مجتمع مس میدوک جناب آقای مهندس شریفیان و رئیس محترم بخش زمین شناسی مجتمع مس میدوک جناب آقای مهندس رمضانی به خاطر همکاری همه جانبه شان در انجام این پژوهه سپاسگزاری کنیم. همچنین از داوران محترم که با نظرهای ارزشمند خود بر غنای علمی این مقاله افزودند تشکر می‌کنم.

### مراجع

- [1] Shahabpour J., "Behaviour of Cu and Mo in the SarCheshmeh porphyry Cu deposit, Kerman, Iran" CIM Bull., 93 , (2000) 44 – 51.
- [2] Outomec., "Techno-economic feasibility study and relevant backing technical studies of Meiduk Copper Project", Outokumpu, Finland, ( 1992 ) 171p .
- [3] Hassanzadeh j., "Metallogenetic and tectonomagmatic events in SE sectore of the Cenozoic active continental margin of central iran- Shahr- Babak, kerman province," PHD thesis, university of California (1993) 201 p.
- [4] McInnes B.I.A., Evans N.J., Belousova E., Griffin W.T., Andrew R.L., "Timing of mineralization and exhumation processes at the Sarcheshmeh and Meiduk porphyry Cu deposits, Kerman belt, Iran", Mineral exploration and sustainable development , Eliopoulos et al. (eds), Millpress, Rotterdam, ISBN 9077017 77 1, (2003) p 1197-1200.
- [5] Dimitrijevic M., "Geology of Kerman region: institute for geological and mining exploration and institution of nuclear and other mineral raw materials", Beograd-Yugoslavia, Iran Geol. Survey Rept. (1973) Yu/52.
- [6] Saric A., Djordjevic M., Dimitrijevic M. N., "Geological map of Shahr-Babak, Scale 1/100000", Geological Survey of Iran , ( 1971 ) Tehran, Iran .

این کانسار وابسته به توده‌ی نفوذی با دامنه‌ی ترکیبی از گرانودیوریت، کوارتزدیوریت و دیوریت با سن میوسن میانی است، که این توده‌دانله‌ی آتشفسانی وابسته به همبافت رازک به سن اوسن را قطع کرده است.

۲- از نظر ویژگی‌های سنگ‌شناسی میکروسکوبی، توده‌ی نیمه عمیق میزبان کانسار مس میدوک (میدوک پورفیری) از کوارتزدیوریت، دیوریت و گرانودیوریت تشکیل شده است. کانی‌های تشكیل‌دهنده‌ی این مجموعه عبارتند از پلاژیوکلаз، - فلدسپار پتاسیم و کوارتز، بیوتیت و هورنبلند نیز کانی‌های تیره‌ی این توده را شامل می‌شوند. سریسیتی شدن، همراه با رگ‌چه‌های سیلیسی، بیوتیت‌های ثانویه، دگرسانی پتاسی از نوع ارتوزی شدن، کلریتی شدن و کلسیتی شدن که از دگرسانی کانی‌های پلاژیوکلاز، فلدسپار پتاسیم و کانی‌های تیره حاصل شده اند، کانی شناسی ثانویه این مجموعه را تشکیل می‌دهند. همچنین در مقاطع میکروسکوبی می‌توان دو نوع بیوتیت را شامل بیوتیت‌های ماقمایی و بیوتیت‌های ثانویه مشاهده کرد. بافت اصلی این سنگ‌ها پورفیری و ناهمسان دانه است.

۳- این سنگ‌ها از نظر ویژگی‌های ژئوشیمیایی، ماهیت کلسیک و کلسیک قلیایی را نشان می‌دهند. غنی‌شدن این HFSE سنگ‌ها از عناظر LILE و فقیر شدن آنها از عناظر Cارهای فعال نشان می‌دهد.

۴- نمودارهای تعیین محیط زمین‌ساختی نشان می‌دهد که کانسار مس میدوک در موقعیتی پس از اتمام فروزانش یعنی در مرحله‌ی پس از برخورد و مراحل نهایی کوهزایی که با بالا آمدگی همراه بوده است تشکیل شده است.

۵- از نظر خاستگاه تشکیل توده‌ی گرانیت‌وئیدی میزبان کانسار مس میدوک، ویژگی‌های ژئوشیمیایی این توده مانند میزان  $\text{Sr/Y} > 40 \text{ ppm}$ ,  $\text{Sr} > 400 \text{ ppm}$  سنگ‌ها در موقعیت زمین‌ساختی پس از برخورد و مقایسه‌ی این توده با توده‌های نفوذی نوع کوهپنجه و میزبان کانسارهای مس پورفیری در استان کرمان نشان می‌دهد که توده‌ی گرانیت‌وئید میدوک پورفیری نمی‌توانسته است از ذوب پوسته‌ی اقیانوسی فرورونده حاصل شده باشد و بنابراین به مانند توده‌های گرانیت‌وئیدی فوق وابسته به ذوب بخش‌های زیرین پوسته‌ی قاره‌ای ضخیم شده است.

- [15] Batchelor R.A., Bowden P., "Petrogenetic interpretation of granitoid rock series: using multinational parameters", *Chem. Geol.*, 48: (1985) 43-55.
- [16] Newberry R.J., Burns L.E., Swanson S.E., Smith T.E., "Comparative petrologic evolution of the Sn and W granites of the Fairbanks-Circle area, interior Alaska. In: Stein H.J., Hannah, J.L. (Eds.). *Ore-bearing Granite Systems; Petrogenesis and Mineralising Processes*", Geological Society of America, Special Paper 246, (1990) pp. 121-142.
- [17] Sun S.S., McDonough W.F., "Chemical and isotopic systematics of oceanic basalts; implications for mantle composition and processes: in Saunders, A.D., and Norry, M.J., eds., *Magmatism in the ocean basins*", Geological Society Special Publications no. 42 (1989) p. 313-345.
- [18] Richards J. P., Boyce A.J., Springle M.S., "Geologic evolution of Escondida Area, Northern Chile, A model for spatial and temporal localization of porphyry Cu mineralization", *Economic Geology*, v. 96 (2001) p. 271-305.
- [19] Shafiei B., Shahabpour J., Haschke M., "Transition from Paleogene normal calc-alkaline to Neogene adakite-like plutonism and Cu-metallageny in the Kerman porphyry copper belt: response to Neogene crustal thickening", *Journal of Sciences. Islamic Republic of Iran*, v 19 (2008) p. 67-84.
- [20] Taghipour N., Aftabi A., Mathur R., "Geology and Re-Os Geochronology of Mineralization of the Miduk Porphyry Copper Deposit", *The Society of Resource Geology* 2: (2007)143-160.
- [21] Shahabpour J., "Tectonic evolution of the orogenic belt in the region located between Kerman and Neyriz", *Journal of Asian Earth Science*, v. 24 (2005) p. 405-417.
- [۲۲] علیرضایی علی، "ژئوشیمی سنگ‌های گرانیتی‌وئیدی معدن مس میدوک و رابطه آن با کانسارسازی مس"، پایان نامه کارشناسی ارشد، دانشگاه بولنی سینا همدان، (۱۳۸۸).
- [۷] آلیانی ف..، علیرضایی ع..، مرادیان ع..، عباسلو ز..، "ژئوشیمی و سنگ‌شناختی سنگ‌های آتش‌شانی درونگیر کانسار مس میدوک کرمان"، مجله بلورشناسی و کانی شناسی ایران، جلد هفدهم، شماره ۳، (۱۳۸۸) ۴۶۰-۴۶۲.
- [8] Wilt J.C., "Correspondence of alkalinity and ferric/ferrous ratios of igneous rocks associated with various types of porphyry-copper deposits. In: Pierce, F.W., Bolm, J.G. (Eds.), *porphyry-Copper Deposits of the American Cordillera*. Ariz. Geol. Soc. Digest 20 (1995) 180-200.
- [9] Keith S.B., Swam M.M., "The great Laramide porphyry copper cluster of Arizona, Sonora, and New Mexico: the tectonic setting, petrology, and genesis of a world class porphyry metal cluster. In: Coyner, A.r., Fahey, P.L. (Eds.)", *Geology and ore Deposit of the American Cordillera. Geological Society of Nevada Symposium proceeding*, Reno/Sparks, Nevada, April 1995, pp. 1667-1747.
- [10] De La Roche H., Leterrier J., Grandclaude P., Marchal M., "A classification of volcanic and plutonic rocks using RIR2-diagram and major-element analyses—its relationships with current nomenclature", *Chemical Geology* 29, (1980)183-210.
- [11] Frost R.B., Barnes C.G., Collins W.J., Arculus R.J., Ellis D.J., Frost C.D., "A Geochemical classification for Granitic Rocks", *Journal of Petrology* 42 (2001) 2033-2048.
- [12] Maniar P.D., Piccoli P.M., "Tectonic discrimination of granitoids", *Geol Soc Am Bull*, 101, (1989) pp 635-643.
- [13] Waught T.E., Weaver S.D., Muir R.J., "The Hohonu Batholith of North Westland, New Zealand: granitoid compositions controlled by source H<sub>2</sub>O contents and generated during tectonic transition", *Contribution to Mineralogy and Petrology* 130, (1998) 225-239.
- [14] Pearce J.A., Harris N.B.W., Tindle A.G., "Trace element discrimination diagrams for the tectonic interpretation of granitic rocks", *Journal of Petrology* 25, (1984) 956-983.